

УДК 518.12:681.3.06

АЛГОРИТМ И ПРОГРАММА УСЛОВНОЙ ОПТИМИЗАЦИИ

В.К. Королев

I. Формулировка задачи

Рассмотрим следующую задачу оптимизации

$$\min \{ f(x) \mid Ax \leq c, \phi(x, \alpha) = 0, \alpha_H \leq \alpha \leq \alpha_K \}. \quad (I)$$

Здесь

$$x^T = (x_1, \dots, x_n); \quad A = \begin{matrix} \parallel & \alpha_{ij} & \parallel \\ & (m \times n) & \\ c^T = (c_1, \dots, c_m); \\ f(x) = \alpha \cdot V(x) + \tilde{f}, \end{matrix}$$

где

$$\alpha = \begin{cases} +1, & \tilde{f} = 0, \\ -1, & \tilde{f} > 0. \end{cases}$$

Задача (I) есть задача отыскания (при каждом фиксированном $\alpha \in [\alpha_H, \alpha_K]$) минимума и максимума функции $V(x)$ на поверхности $\phi = \{x \mid \phi(x, \alpha) = 0\}$ в допустимой области $R = \{x \mid Ax \leq c\}$.

Предполагается, что функции $V(x)$ и $\phi(x)$, по крайней мере, дважды непрерывно дифференцируемы.

Геометрический смысл задачи иллюстрируется примерами I и 2 (см. стр. 65).

Задача (I) возникает, например, в электронике при построении областей рабочих сигналов для интегральных схем [1]; аналогичные задачи рассматриваются в работах [2] (энергетика) и [3] (математическая экономика). От стандартной формулировки задач нелинейного программирования задача (I) отличается наличием ограничения-равенства. Заметим, что в задаче с линейными

границами такое выделение нелинейного ограничения-равенства естественно. Если бы мы попытались с его помощью исключить одну из компонент вектора x (что не всегда возможно), то пришли бы к задаче с нелинейными границами, решать которую было бы не проще. Необходимость разрабатывать какие-то эвристические способы решения задачи (I) вызывается следующими причинами. Во-первых, строгие теоретические критерии (например, типа необходимых и достаточных условий Куна-Таккера [4,5]) обоснованы лишь для задач выпуклого программирования, в то время как наша задача (I) является, вообще говоря, многоэкстремальной (см. стр. 65). Во-вторых, математические методы поиска решения (например, метод Эрроу-Гурвица [6] интегрирования системы дифференциальных уравнений, описывающих траекторию движения к решению) мало эффективны при практических расчетах (см., например, [4,7]). И, наконец, трудности чисто технического характера, возникающие при практической реализации того или иного алгоритма, заставляют заменять некоторые строгие приемы или критерии эвристическими.

Предлагаемый ниже алгоритм следует подходам, изложенным в работах [3] и [2]. В первой из них предлагается комбинировать задачи "ухода" с поверхности ϕ и "спуска" на нее. Во второй работе эта идея используется в сочетании с приемами градиентных методов с малым шагом, причем "уход" совершается в касательной плоскости к поверхности ϕ . Наша модификация этих подходов заключается в привлечении приемов полномасштабных градиентных методов [5] и метода Резена [4] проектирования градиента.

Кратко алгоритм описан в [1]. С учетом последующих усовершенствований и более подробно алгоритм излагается ниже.

2. Алгоритм

Общая блок-схема алгоритма приведена на рис. I. Здесь прямоугольники обозначают арифметические операторы (или целые блоки), ромбики - логические, кружки - метки в программе. Вместо общепринятых "да" и "нет" на выходах логических операторов мы считаем более удобным писать "1" и "0".

На блок-схеме не показаны два вложенных цикла: по α и по x , так что приведенная на рис. I блок-схема относится лишь к решению задачи

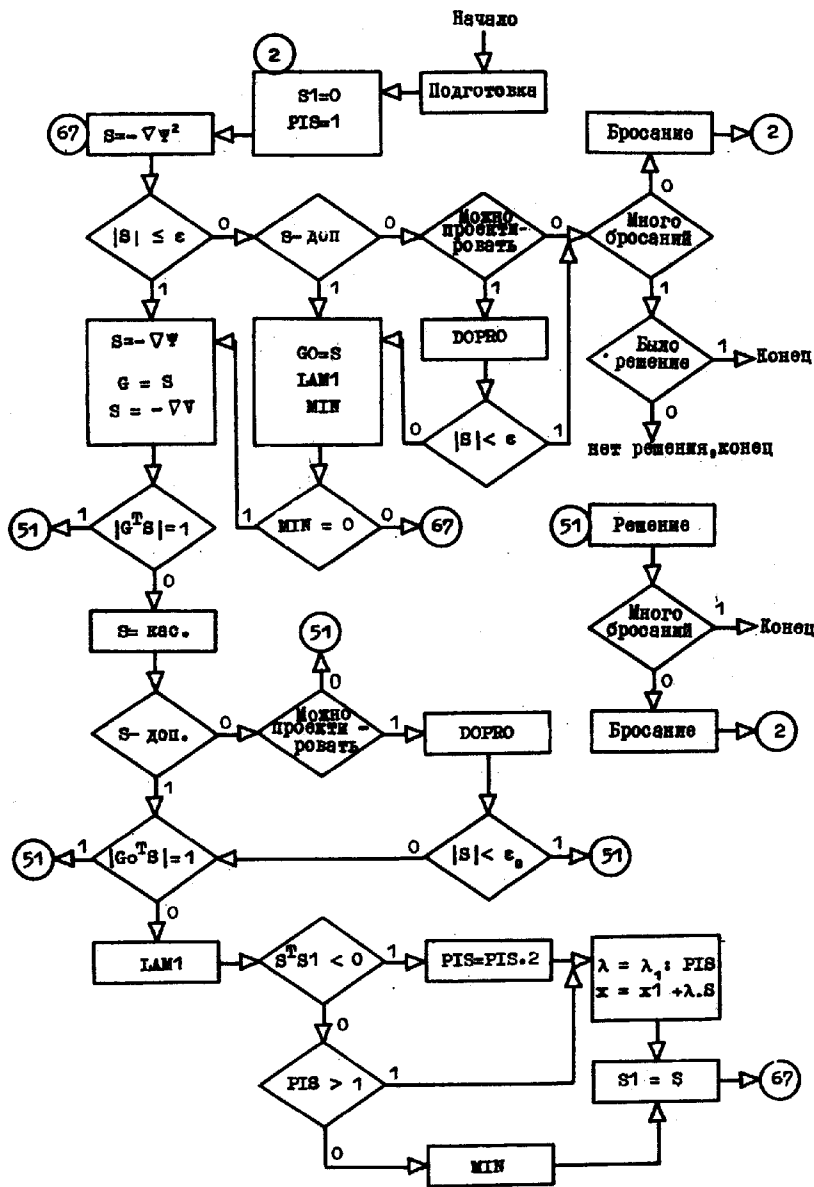


Рис. 1. Общая блок-схема алгоритма

$$\min\{V(x) \mid Ax \leq b, \psi(x) = 0\}. \quad (I')$$

Дадим пояснения к общей блок-схеме. После ввода исходных данных проводится необходимая подготовка к работе программы: заготавливаются некоторые переменные; введенные координаты допустимой точки x , пересылаются в рабочий массив x ; очищается массив s , в котором будет храниться вектор s от предыдущей итерации поиска, а также обновляется переменная π_s , участвующая в колебательном движении к минимуму.

Для спуска на поверхность ψ составляется характеристическая функция [3]

$$\bar{\psi}(x) \begin{cases} = 0, & \psi(x) = 0, \\ > 0, & \psi(x) \neq 0. \end{cases}$$

Например, можно положить $\bar{\psi}(x) = \psi^2(x)$. Теперь задача спуска на ψ сводится к нахождению нулевого минимума функции $\bar{\psi}(x)$.

Вычисляется вектор-антиградиент этой функции: $s = -\nabla \bar{\psi}$, и если он мал, то мы идем на вычисление вектора, касательного к ψ . В противном случае определяем, является ли вектор s допустимым. Если нет, но его можно спроектировать на некоторое (нарушаемое вектором s) граничное многообразие \bar{R} ненулевой размерности, то s проецируется на \bar{R} . Если эта проекция мала или размерность \bar{R} равна нулю, проверяем, много ли было случайных бросаний точки в допустимую область R . Если нет, то производим это бросание и идем на 2; если много и при этом ни разу не было получено решения, то информация об этом печатается; если было решение, поиск прекращается - конец.

После того, как получен подходящий [5] вектор s , этот вектор запоминается в массиве g_0 , по направлению s определяется расстояние до границы области λ' и решается задача одномерной минимизации ($\min f$ по направлению s).

Если найденный минимум ненулевой, то возвращаемся на 67. В противном случае вычисляем антиградиент функции $\psi(x)$, запоменяем его ($g = -\nabla \psi$) и вычисляем антиградиент функции $V(x)$ ($s = -\nabla V$).

Далее проверяем векторы g и s на коллинеарность. Если $|g^T s| = 1$, то мы имеем решение (точнее, стационарную точку). В

противном случае имеется возможность уменьшения V вдоль поверхности φ . Вектор z проецируется на касательную плоскость к поверхности φ , и определяется допустимость этого нового вектора z . Аналогично описанному выше проводится, если нужно, проектирование z на нарушаемое им граничное многообразие \bar{R} и в тех случаях, если эта проекция мала или коллинеарна вектору g_0 , мы имеем решение.

Если $|g_0^T z| \neq 1$, определяется λ' - шаг до границы и проверяется, нет ли колебательности при движении к минимуму. Если нет (то есть $s^T s_i \geq 0$) и не было до этого (то есть $\pi_s = 1$), то на направлении z отыскивается $\min V$, запоминается z (в массиве s_1) и мы снова идем на 67.

Если $s^T s_1 < 0$, то π_s удваивается, по направлению z производится шаг величиной $\frac{\lambda'}{\pi_s}$, запоминается z и управление передается на 67. Если $s^T s_1 \geq 0$, но $\pi_s > 1$ (то есть были колебания на предыдущих итерациях), то π_s не увеличивается, но по-прежнему применяется "осторожная" тактика движения по направлению z .

Таким образом, в случае колебательного характера движения к минимуму мы застрахованы от бросков от границы до границы области R , колебания будут затухать, приводя в окрестность стационарной точки.

Заметим, что задача (I') может иметь несколько изолированных решений или целое их многообразие; кроме того, процесс может остановиться в точке, не являющейся решением задачи (см. примеры 1 и 2). Поэтому с целью "прощупывания" всей области R и увеличения надежности отыскания решения в алгоритме используется комбинация регулярного локального поиска со случайными бросаниями точки в допустимую область.

Описанная блок-схема алгоритма соответствует общей организации процесса оптимизации. Программа, реализующая этот алгоритм, написана на языке АКИ [8] и содержит 12 подпрограмм, выполняющих повторяющиеся процедуры. Ниже даются комментарии к подпрограммам. Порядок следования комментариев соответствует расположению подпрограмм в автокодовой программе (см. стр. 71). После названия подпрограммы в скобках указывается ее метка и шифр.

Подпрограмма дифференцирования (50. GS) осуществляет вычисление антиградиента функции $f(x)$: $z = -\nabla f$. Дифференцирование по x_j производится с помощью безразностных формул [9] по трем точкам, причем шаг Δx уменьшается до тех пор, пока приращения функции в точках $x + \Delta x$ и $x + \frac{\Delta x}{2}$ не станут достаточно малыми. Отметим, что для квадратичной функции получается точное значение производной (в пределах точности машины) при любом исходном значении Δx . В этой подпрограмме вычисляется также норма вектора z :

$$\|z\| = \sqrt{\sum_{i=1}^n z_i^2}$$

Подпрограмма проверки z на допустимость (55. DOP) для граничных точек x (то есть тех, для которых выполняется хотя бы одно равенство $A_i x = c_i$) определяет, выводит ли вектор z за пределы области R . Если да, то соответствующий вектор A_i^T пересылается в двумерный массив Q и запоминается k_1 - число таких векторов. Вектор z допустим в точке x , если $k_1 = 0$.

Подпрограмма вычисления граничного шага (23. λ'), во-первых, запоминает текущее значение вектора x в массиве x_1 , и, во-вторых, для нарушенных ограничений (то есть тех, для которых $A_i z > 0$) вычисляет шаг до границы:

$$\lambda' = \min_i \left\{ \frac{c_i - A_i x}{A_i z} \right\}$$

Подпрограмма одномерной минимизации (29. $\min(f)$) является одной из основных. Ее блок-схема приведена на рис. 2 вместе с блок-схемой подпрограммы контроля шага, пересчета x и $f(x)$ и проверки конца минимизации (39. $\lambda - \varphi$). Первая из этих подпрограмм многократно обращается ко второй.

Обе подпрограммы совместно решают задачу

$$\min_{0 \leq \lambda \leq \lambda'} \{ \varphi(\lambda) = f(x + \lambda z) \} \quad (2')$$

при фиксированных векторах x и z . Отметим, что в процессе решения задачи (I') приходится дважды решать задачу (2'): для

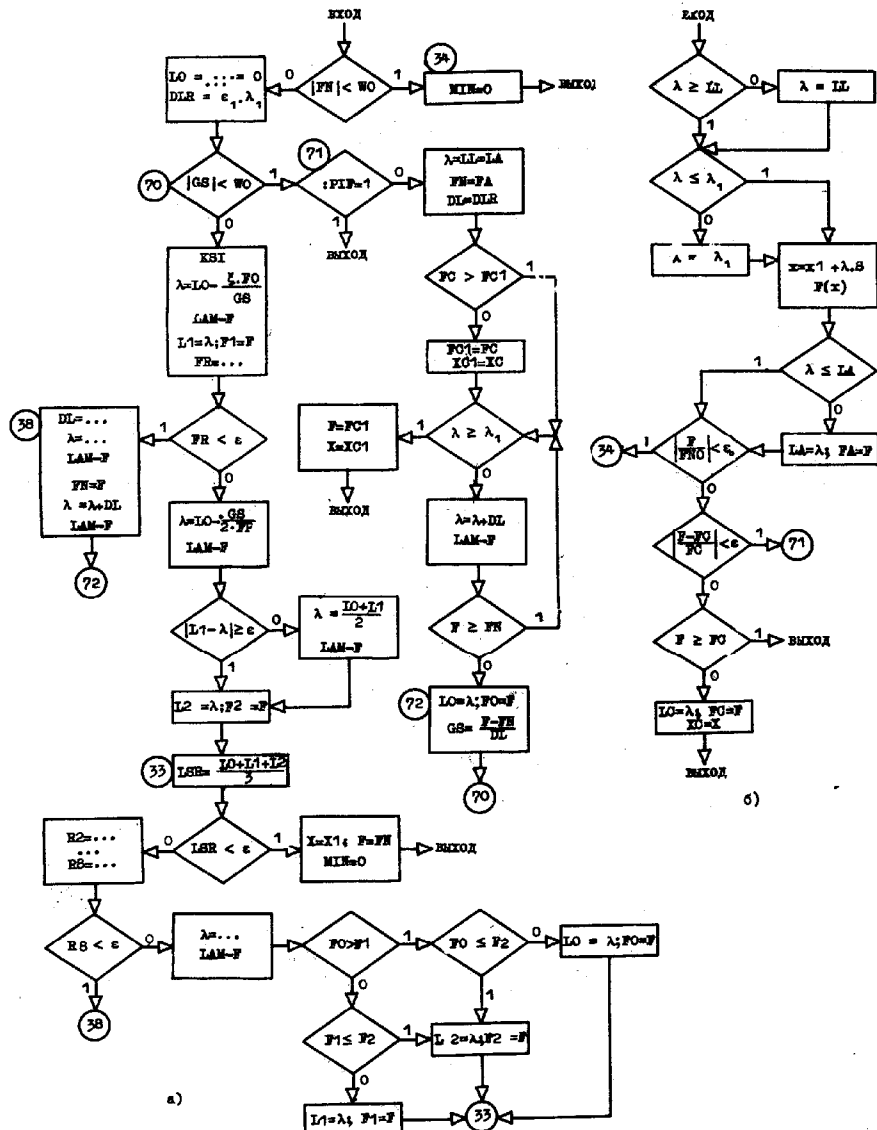


Рис. 2. Блок-схемы подпрограмм:
а) MIN(F); б) LAM-F

поиска минимума функции $V(x)$ и при спуске на φ . Если в первом случае нас устраивает любой локальный минимум, то во втором - только нулевой. Этим и объясняются описываемые ниже различия в подпрограмме "min(f)" при работе с функциями $V(x)$ и $\bar{\varphi}(x)$.

При входе в подпрограмму "min(f)" может оказаться, что текущее значение φ_0 минимизируемой функции мало; в этом случае сразу идем на выход, присвоив нулевое значение переменной min . В противном случае некоторые переменные обновляются: λ_0 - исходное значение λ ; λ_α и λ_β - соответственно правое и левое значения λ ; $\varphi_0 = \varphi(\lambda_0)$; $\varphi_\alpha = \varphi(\lambda_\alpha)$; φ_0 и φ_{c1} - ординаты локального и глобального минимумов; min - признак (не)нулевого минимума; $\Delta\lambda_2$ - приращение λ для пошагового поиска.

Далее проверяем, мала ли величина g_3 . Если да (то есть мы находимся в окрестности локального минимума) и, кроме того, минимизируется функция $-V(x)$ (признак: $\pi_f = 1$), то мы идем на выход. Для функции $\bar{\varphi}(x)$ (признак: $\pi_f = 0$) в этой ситуации организуется пошаговый поиск (см. ниже) для отыскания нулевого минимума.

Если g_3 не мало, то, разлагая $\varphi(\lambda)$ в степенной ряд в точке λ_0 :

$$\varphi(\lambda) = \varphi(\lambda_0) + \varphi'(\lambda_0)(\lambda - \lambda_0) + \frac{1}{2}\varphi''(\lambda_0)(\lambda - \lambda_0)^2 + \dots \quad (2)$$

мы находим абсциссу точки нулевого минимума линейной части разложения (2):

$$\lambda = \lambda_0 - \frac{\varphi(\lambda_0)}{\varphi'(\lambda_0)} = \lambda_0 - \frac{\varphi_0}{g_3}$$

В качестве первого, грубого приближения решения (2') мы берем

$$\lambda_1 = \lambda_0 - \xi \frac{\varphi_0}{g_3}, \quad \varphi_1 = \varphi(\lambda_1),$$

где ξ - поправка (псевдослучайное число с равномерным распределением на $[0, 1]$).

Теперь, имея две точки (λ_0, φ_0) и (λ_1, φ_1) и значение производной g_3 в первой точке, строим параболу, аппроксимирующую $\varphi(\lambda)$. Для разложения (2) получаем:

$$\frac{1}{2} \varphi''(\lambda_0) = \varphi_2 = \frac{\varphi_1 - \varphi_0 - g_2(\lambda_1 - \lambda_0)}{(\lambda_1 - \lambda_0)^2}$$

Может оказаться, что $\varphi_2 \leq 0$ (парабола вогнутая или вырождается в прямую). В этих случаях применяется пошаговый поиск.

Если $\varphi_2 \geq \varepsilon$, то легко найти минимум параболы:

$$\lambda = \lambda_0 - \frac{g}{2\varphi_2}$$

Заметим, что если минимизируемая выпуклая функция квадратична, то это значение λ дает решение (2'), а все дальнейшее будет служить лишь проверкой правильности решения.

Может случиться, что два значения λ , найденные из линейной и квадратичной аппроксимаций, совпадают. Тогда мы полагаем

$$\lambda = \frac{\lambda_0 + \lambda_1}{2}$$

Последующая процедура минимизации сводится к построению параболы по трем точкам и нахождению ее минимума. Найдем $\varphi(\lambda)$ и положим $\lambda_2 = \lambda$, $\varphi_2 = \varphi(\lambda_2)$. Нетрудно получить формулу для минимума параболы, проходящей через три точки: (λ_0, φ_0) , (λ_1, φ_1) и (λ_2, φ_2) :

$$\lambda = \lambda_0 + \frac{1}{2} \frac{(\varphi_1 - \varphi_0)(\lambda_2 - \lambda_0)^2 - (\varphi_2 - \varphi_0)(\lambda_1 - \lambda_0)^2}{(\varphi_1 - \varphi_0)(\lambda_2 - \lambda_0) - (\varphi_2 - \varphi_0)(\lambda_1 - \lambda_0)} \quad (3)$$

Перед тем как считать по этой формуле, необходимо убедиться, что минимум параболы существует, то есть знаменатель в (3) $\geq \varepsilon$. Иначе парабола вогнута или вырождается, и мы идем на пошаговый поиск. Кроме того, неприятен случай, когда мы находимся очень близко от исходной точки (то есть величина $\lambda_{оп} = \frac{\lambda_0 + \lambda_1 + \lambda_2}{3}$ мала).

В этом случае, очевидно, значения φ_1 и φ_2 мало отличаются от φ_0 , и мы выходим из подпрограммы, приняв в качестве решения исходную точку.

После того как по формуле (3) вычислено λ и найдено $\varphi = \varphi(\lambda)$, из четырех точек (λ_0, φ_0) , (λ_1, φ_1) , (λ_2, φ_2) и (λ, φ) отбрасывается точка с наибольшей ординатой и процесс (3) записывается на 33. Критерии окончания минимизации находятся в подпрограмме "λ - φ".

Опишем, как происходит пошаговый поиск. В процессе работы подпрограммы "λ - φ" запоминается наименьшее текущее зна-

чение φ_c функции $\varphi(\lambda)$. Если найден локальный минимум этой функции, то проверяется, не меньше ли он найденного ранее минимума φ_{c1} (в начальный момент $\varphi_{c1} \gg 1$). Если меньше, то он запоминается, и если отрезок $[\lambda_0, \lambda']$ еще не исчерпан, то переменная λ получает приращение $\Delta\lambda$, вычисляется $\varphi(\lambda + \Delta\lambda)$ и этот процесс повторяется до тех пор, пока $\varphi(\lambda)$ не начнет уменьшаться (то есть пока мы не перевалим через очередной "бугор" в область следующего минимума). Вычисляем в этой точке величину g_3 и, оказавшись в первоначальной ситуации, возвращаемся на 70. Если отрезок $[\lambda_0, \lambda']$ пройден до его правого конца без уменьшения $\varphi(\lambda)$, то мы выходим из подпрограммы, приняв в качестве минимума точку $(\lambda_{c1}, \varphi_{c1})$.

Перед началом пошагового поиска мы сразу же отсекаем область ранее найденного минимума, полагая $\lambda_e = \lambda_\alpha$.

В тех случаях, когда нельзя получить минимум аппроксимирующих парабол, мы делаем шаг по λ так, чтобы оказаться в ситуации, аналогичной началу минимизации (см. операторы 38 и 72).

Подпрограмма "λ - φ" (блок-схема на рис. 2, б), во-первых, ограничивает величину λ в пределах $[\lambda_e, \lambda']$, во-вторых, в точке λ пересчитывается вектор x и функция $f(x)$. Кроме того, запоминается точка $(\lambda_\alpha, \varphi_\alpha)$ для самого правого из текущих значений λ .

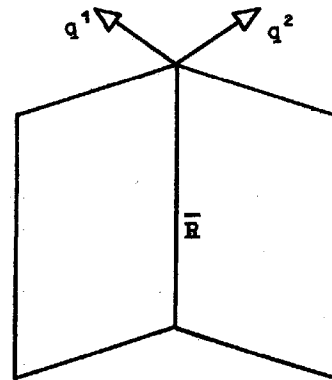


Рис. 3

Критерии окончания минимизации включают: 1) проверку относительной малости φ или 2) проверку совпадения (с точностью до ε) значения φ и наименьшего найденного ранее и сохраняемого значения φ_c .

Подпрограмма вычисления матрицы проектирования Розена (60. MAPR) реализует алгоритм вычисления матрицы A_R , с помощью которой вектор z , не являющийся допустимым в точке x , проектируется на нарушенное граничное многообразие \bar{R} . Приведем вывод формулы для A_R , следуя [4].

В подпрограмме "DOP", как отмечалось выше, формируется матрица $Q = (q^1, \dots, q^{k_1})$, столбцами которой являются линейно независимые строки матрицы A . Если R^0 - подпространство пространства E^n , порожденное векторами q^j , то \bar{R} есть ортогональное дополнение подпространства R^0 , так что $E^n = R^0 + \bar{R}$

(рис.3). Любой вектор из E^n может быть единственным образом представлен в виде суммы векторов из R^0 и \bar{R} , например, (4)

$$s = s^0 + \bar{s}, \quad s^0 \in R^0, \quad \bar{s} \in \bar{R}.$$

Так как R^0 порождено векторами q^j , то

$$s^0 = \sum_j \alpha_j q^j = Q\alpha. \quad (5)$$

Итак,

$$s = Q\alpha + \bar{s}. \quad (6)$$

Так как $\bar{s} \in \bar{R}$, то $(q^j)^T \bar{s} = 0, j=1, \dots, k_1$. Следовательно, умножая (6) слева на Q^T , получаем:

$$Q^T s = Q^T Q \alpha.$$

Отсюда, поскольку матрица $Q^T Q$ невырожденная, находим

$$\alpha = (Q^T Q)^{-1} Q^T s,$$

а из (5)

$$s^0 = Q(Q^T Q)^{-1} Q^T s.$$

Наконец, из (4)

$$\bar{s} = s - s^0 = [E - Q(Q^T Q)^{-1} Q^T] s.$$

Таким образом,

$$A_R = E - Q(Q^T Q)^{-1} Q^T$$

Вычисление обратной матрицы производится в подпрограмме "82.OBMAT", работающей по способу Рунтисхаузера. Блок-схема этой процедуры и пояснения к ней даны в [10] и здесь не приводятся.

Подпрограмма проектирования на границу (I2I.PROGR) умножает матрицу A_R на вектор s , то есть проектирует его на \bar{R} .

Подпрограмма нормализации (75.NORM) нормирует вектор s так, чтобы было

$$\sum_{i=1}^n s_i^2 = 1.$$

Подпрограмма допустимого проектирования (25.DOPRO). Поскольку принадлежность точки x границе области R определяется с точностью до ϵ , то возможна ситуация, когда проекция s на \bar{R} оказывается недопустимой. В этом случае приходится повторять проектирование до тех пор, пока \bar{R} не станет одним и тем же для двух соседних проектирований.

Подпрограмма случайного бросания (62.BROS), используя датчик равномерно распределенных на $[0,1]$ псевдослучайных чисел, производит случайное бросание точки x в n -мерный куб с вписанной в него областью R и выбирает ту точку, которая удовлетворяет неравенству $Ax \leq c$.

Единственным нестандартным блоком в программе является подпрограмма вычисления функции $f(x)$ (40.F). Собственно нестандартными здесь являются операторы, вычисляющие функции $V(x)$ и $\psi(x)$. Если $\pi_f = 1$, то, вычислив $f = \alpha \cdot V + \bar{f}$, мы идем на выход. При $\pi_f = 0$ вычисляется $f = \psi(x)$. Если при этом $\pi_{pq} = 0$ (признак того, что мы находимся на "дне" функции $\bar{\psi}(x)$), мы идем на выход. При $\pi_{pq} = 1$ вычисляется $f = \psi^2(x)$.

Полный текст автокодовой программы приведен на стр. 71.

3. Примеры

Рассмотрим два примера, использовавшиеся в качестве тестов при отладке алгоритма, которые могут служить иллюстрацией как самого процесса оптимизации, так и возможностей алгоритма.

I. Двумерный тест. Положим

$$V(x) = \frac{-x_1^2 + x_2 + 0,2}{0,76}; \quad \psi(x) = \frac{x_1 - x_2^2 + 0,2}{0,76} - D = U(x) - D.$$

Линии уровня $V(x) = const$ и $U(x) = const$ приведены на рис. 4. Допустимая область R , показанная на этом рисунке, описывается с помощью матриц

$$A^T = \left\| \begin{array}{cccccc} -1; & 0; & 1; & 1; & 0; & -1 \\ 0; & -1; & -1; & 0; & 1; & 1 \end{array} \right\|,$$

$$c^T = (-0,35; -0,35; 0,15; 0,7; 0,7; 0,15).$$

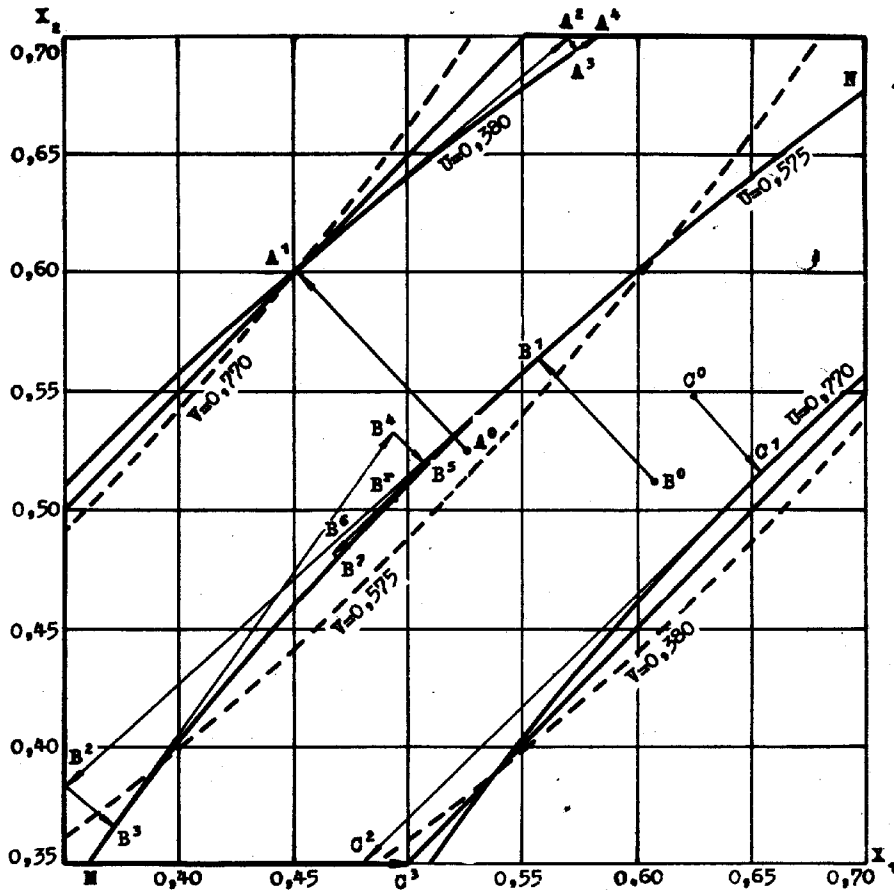


Рис. 4

Проследим на этом примере, как работает программа. (Результаты получены на ЭЦМ "Минск-22" с 7-ю десятичными знаками; мы приводим лишь 4 значащих цифры).

а) Поиск $\min V$ на линии $D = 0,38$ (см. рис.4). Процесс начинается из точки

$$A^0 = (0,525; 0,525).$$

Спуск на ψ приводит в

$$A^1 = (0,4518; 0,6018).$$

Отсюда - движение по касательной в точку

$$A^2 = (0,57; 0,7).$$

Из нее спускаемся на ψ :

$$A^3 = (0,573; 0,6958).$$

И, наконец, по касательной приходим в точку

$$A^4 = (0,5787; 0,7),$$

являющуюся решением (с точностью до $\varepsilon \sim 10^{-5}$).

б) Вычисление $\max V$ на линии $D = 0,575$. Исходная точка

$$B^0 = (0,6064; 0,5728).$$

Спуск на ψ :

$$B^1 = (0,5559; 0,5647).$$

Движение по касательной:

$$B^2 = (0,35; 0,3824).$$

Снова спуск на ψ :

$$B^3 = (0,3711; 0,3662).$$

Из этой точки начинается колебательный процесс движения к максимуму. По касательной:

$$B^4 = (0,4934; 0,5331).$$

Спуск:

$$B^5 = (0,5065; 0,5191).$$

По касательной:

$$B^6 = (0,4674; 0,4814).$$

Спуск:

$$B^7 = (0,4681; 0,4807).$$

И так далее, пока не приходим в точку максимума

$$B^8 = (0,4921; 0,505).$$

в) Пример неудачного поиска $\max V$ на линии $D = 0,77$. Начиная из точки

$$C^0 = (0,624; 0,548),$$

спускаемся в

$$C^1 = (0,6524; 0,5169),$$

откуда по касательной выходим на границу:

$$C^2 = (0,4798; 0,35).$$

При попытке спуститься на ψ мы попадаем в угловую точку области:

$$C^3 = (0,5; 0,35),$$

и на этом процесс заканчивается из-за невозможности спроектировать вектор s на многообразие нулевой размерности. Выход из

подобной ситуации, как отмечалось выше, - в повторении поиска из новой случайно выбранной допустимой точки.

Обратим внимание на многоэкстремальность этой задачи. Например, для $D = 0,575$ мы имеем два минимума - в точках M и N (см. рис. 4), из них в N - более глубокий.

2. Трехмерный тест. Допустимая область R описывается неравенствами (см. рис. 5):

$$x_1 > 0, \quad x_2 > 0, \quad x_3 > 0, \\ 0,5x_1 + x_2 + x_3 - 1 < 0.$$

Ограничение-равенство:

$$\psi = x_1^2 + x_2^2 - 0,25 = 0.$$

Функция $V = x_1^2 + x_2^2 + x_3^2$.

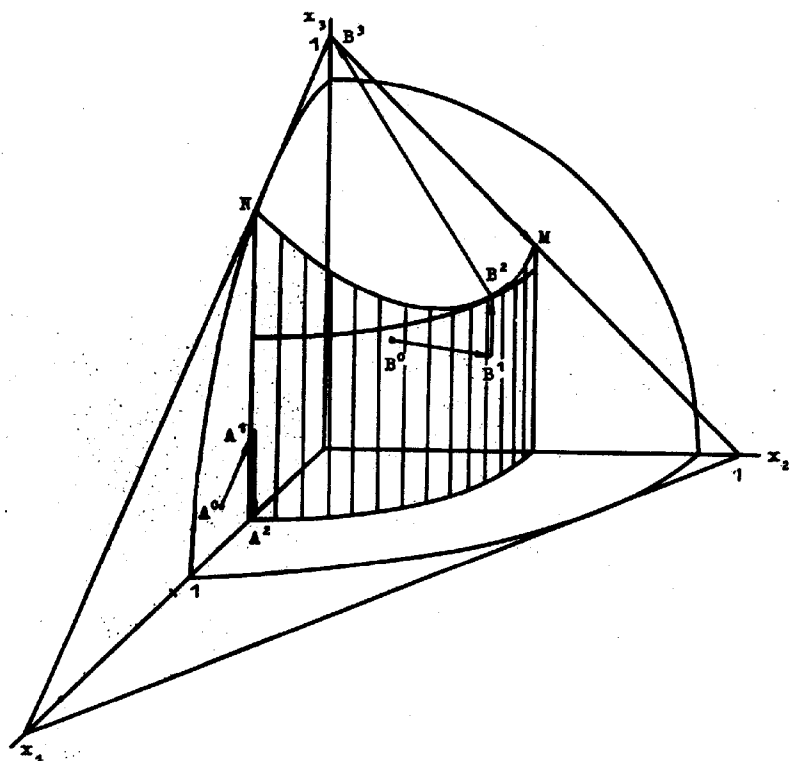


Рис.5. Иллюстрация к примеру 2.

Таким образом, задача состоит в отыскании на цилиндре ψ (в пределах допустимой области - тетраэдра) точки, наименее и наиболее удаленной от начала координат.

а) Поиск $\min V$ из начальной точки
 $A^0 = (1,054; 0,1083; 0,2166)$.

Спуск на ψ :

$$A^1 = (0,4974; 0,05108; 0,2166).$$

Отсюда - движение в касательной к цилиндру плоскости - в точку-решение:

$$A^2 = (0,4974; 0,05108; 0).$$

Очевидно, решением задачи на минимум будет целое многообразие - пересечение цилиндра с плоскостью $x_3 = 0$. Точки, лежащие на этом многообразии, можно получить, начиная поиски из различных исходных точек области R .

б) Поиск $\max V$ из начальной точки
 $B^0 = (0,1; 0,2; 0,3)$.

Спускаемся на ψ :

$$B^1 = (0,2237; 0,4474; 0,3).$$

Отсюда по касательной приходим в

$$B^2 = (0,2237; 0,4474, 0,4408).$$

Проекция градиента V на границу приводит в

$$B^3 = (0; 0,0001305; 0,9998).$$

И, наконец, - спуск на ψ , в точку

$$M = (0; 0; 0,4999),$$

доставляющую локальный максимум функции V на поверхности ψ .

В точку второго максимума мы попадем, если исходная случайная точка окажется в "области влияния" этого максимума. Например, из точки

$$C^0 = (1,035; 0,0714; 0,1411)$$

аналогично описанному в п.б) процесс поиска приводит в точку

$$N = (0,4998; 0; 0,7500).$$

являющуюся точкой глобального максимума.

В заключение отметим, что описанная программа использовалась при построении областей рабочих сигналов для интегральной цепи логических инверторов [1].

Л и т е р а т у р а

1. БЕЛЯЕВ Е.И., КОРОЛЕВ В.К. Анализ интегральной цепи логических инверторов с простой корреляцией параметров. "Вычислительные системы", Новосибирск, 1972, вып. 50, с. 30-43.
2. ГРОБМАН Д.М., СМИРНОВ Ю.И. Экономичное распределение нагрузок суточного графика для электростанций смешанной энергосистемы. - "Известия АН СССР, Энергетика и автоматика", М., 1959, № 4.
3. БАГРИНОВСКИЙ К.А. Об одном способе минимизации выпуклой функции на невыпуклом множестве. - Научные труды Новосибирского государственного университета, сер.экономическая, вып.8, 1966.
4. ХЕЛЛИ Дж. Нелинейное и динамическое программирование. М., "Мир", 1967.
5. ЗОЙТЕНДЕЙК Г. Методы возможных направлений. М., ИЛ, 1963.
6. ЭРРОУ К., ГУРВИЦ Л., УДЗАВА Х. Исследования по линейному и нелинейному программированию, М., ИЛ, 1962.
7. КАПЛАН А.А. Численные методы решения задач выпуклого программирования. - В сб.: "Оптимальное планирование", Новосибирск, 1970, вып. 17.
8. ПРОХОРОВ В.И. и др. Основы программирования для ЭЦМ, М., "Высшая школа", 1967.
9. БЕРЕЗИН И.С., ЖИДКОВ Н.П. Методы вычислений, М., Физматгиз, 1962, т. 1.
10. КОРОЛЕВ В.К. Универсальная программа оптимизации электрических цепей. - "Вычислительные системы", Новосибирск, 1970, вып. 40, с. 82-113.

Поступила в ред.-изд.отд.

17-апреля 1973 года

Приложение

```

-----
ЛИСТ 01
01      МИН Ф=ПСИ*
02      MAC X(8),X1(8),XC(8),XC1(8),S(3),S1(8),S(8),G1(8),
03      G0(8),Q(64 8.8),Q1(64 8.8),AR(34 8.8),D(64 8.8)*
04      3.880D EPS0,EP0,EP31,PN,DO,DK,FM,XM,MO,
05      ED(64 N.N),A(192 M.N),C(24),XS(3):M,N,N1*
06      ВМ4 :N2=N-1*
07      ВМ4 PIPG=1*
08      1.ВМ4 D=DG*
09      78.ВМ4 ALF=ALF FF=FT*
10      ВМ4 :N1N=0 N1E=0*
11      ВМ4 FC2=K16*
12      66.ВМ4 X/I/=XS/I/*
13      ПОВ 66 I=1 (1) N*
14      ВМ4 :PIF=0*
15      ВЫП 40*
16      ВМ4 FNO F*
-----
ЛИСТ 02
01      2.ВМ4 1/I/=0*
02      ПОВ 2 I=1 (1) N*
03      ВМ4 PIS=1*
04      67.ВМ4 :PIF=0*
05      ВЫП 50*
06      ЕСЛИ GS1 (=EPS TO 74*
07      ВЫП 55*
08      ЕСЛИ :K1 =0 TO 13*
09      ЕСЛИ :K1 =N TO 5*
10      ВЫП 25*
11      ЕСЛИ GS1 (EPS TO 5*
12      13.ВМ4 G0/I/=S/I/*
13      ПОВ 13 I=1 (1) N*
14      ВЫП 23*
15      ВЫП 29*
16      ЕСЛИ MIN 10,5 TO 67*
-----
ЛИСТ 03
01      74.ВМ4 PIPG=0*
02      ВЫП 50*
03      ВМ4 PIPG=1*
04      ВМ4 :PIF=1*
05      63.ВМ4 G/I/=S/I/*
06      ПОВ 63 I=1 (1) N*
07      ВЫП 50*
08      ВМ4 R1=0*
09      45.ВМ4 R1=R1+G/I/.5/I/*
10      ПОВ 45 I=1 (1) N*
11      ЕСЛИ MOD(1-MOD(R1)) (EPS TO 51*
12      ВМ4 R1=0 R2=C GS=0*
13      64.ВМ4 R1=R1+G/I/.S/I/ R2=R2+G/I/'2.
14      ПОВ 64 I=1 (1) N*
15      68.ВМ4 S/I/=S/I/.R2-G/I/.R1 GS=GS-S/I/'2*
16      ПОВ 68 I=1 (1) N*

```

ЛМСТ 07

01 B4 FD1=F DX=DX:2 X/I/=X/I/-DX*
 02 B4 40*
 03 B4 FD2=F*
 04 127.B4 X/I/=X/I/-DX DF=(4.FD2-3.F4-FD1):(2.DX)
 05 DDF1=MOD(FD1-F1) DDF2=MOD(FD2-F1)*
 06 ECLM DDF1.DDF2 (EPS TO 19*
 07 B4 FD1=FD2 DX=DX:2 X/I/=X/I/+DX*
 08 B4 40*
 09 B4 FD2=F*
 10 DEP 127*
 11 13.B4 DX=DX.2 S/I/=FF GS=GS-DF.F*
 12 NOB 16 I=1 (1) N*
 13 B4 75*
 14 B4 GS*
 15 55.NO: DOP*
 16 B4 :K1=0*

ЛМСТ 08

01 4.B4 R1= /I/*
 02 6.B4 R1=R1-A/I./J./X/J/*
 03 NOB 6 J=1 (1) N*
 04 ECLM R1 JEPS1 TO 8*
 05 B4 R2=0*
 06 7.B4 R2=R2+A/I./J./S/J/*
 07 NOB 7 J=1 (1) N*
 08 ECLM -R2 JEPS0 TO 8*
 09 B4 :K1=K1+1*
 10 9.B4 O/J./K/=A/I./J/*
 11 NOB 9 J=1 (1) N*
 12 NOB 9 K=K1 (1).1*
 13 8.NOB 4 I=1 (1) M*
 14 B4 DOP*
 15 23.NOA LAM1*
 16 73.B4 X/I/=X/I/

CT 09

01 NOB 73 I=1 (1) N*
 02 B4 LAM1=18*
 03 11.B4 R1=0*
 04 10.B4 R1=R1+A/I./J./S/J/*
 05 NOB 10 J=1 (1) N*
 06 ECLM R1 (EPS TO 14*
 07 B4 R2=C/I/*
 08 15.B4 R2=R2-A/I./J./X/J/*
 09 NOB 15 J=1 (1) N*
 10 ECLM R2 (EPS1 TO 14*
 11 B4 WAM=12:2)*
 12 ECLM WAM :LAM1 TO 14*
 13 B4 LAM1=WAM*
 14 14.NOB 11 I=1 (1) M*
 15 B4 LAM1*
 16 29.NOA MIN(F)*

ЛМСТ 4

01 B4 75*
 02 B4 55*
 03 B4 R1 0*
 04 ECLM :K1 =0 TO 57*
 05 ECLM :K1 =N2 TO 51*
 06 B4 25*
 07 ECLM GS1 EPS0 TO 51*
 08 57.B4 R1=RO1+GO/I./S/I/*
 09 NOB 57 I=1 (1) N*
 10 ECLM MOD(I)-MOD(RO1) (EPS TO 51*
 11 B4 R=0*
 12 58.B4 R=R+S/I./S/I/*
 13 NOB 59 I=1 (1) N*
 14 B4 23
 15 ECLM R (0 TO 53*
 16 ECLM PIS 11 TO 61*

ЛМСТ 05

01 B4 29*
 02 DEP 12*
 03 53.B4 PIS=PIE.2*
 04 61.B4 LAM=LAM1:PIS*
 05 59.B4 X/I/=LAV.S/I/+X/I/I/*
 06 NOB 59 I=1 (1) N*
 07 12.B4 S/I/=S/I/*
 08 NOB 12 I=1 (1) N*
 09 DEP 67*
 10 5.ECLM :MIN =N1 TO 22*
 11 B4 :MIN=N1N+1*
 12 B4 62*
 13 DEP 2*
 14 22.ECLM :NIE 10 TO 26*
 15 HAD NA BPM ALA,D/D*
 16 DEP 26*

ЛМСТ 06

01 51.ECLM MOD(F-FC2) (EPS TO 69*
 02 B4 FC3=(F-FF):ALF*
 03 HAD NA BPM ALA,D,FC3*
 04 B4 FC2=F*
 05 69.ECLM :NIE =N1 TO 26*
 06 B4 :NIE=NIE+1*
 07 B4 62*
 08 DEP 2*
 09 26.NOB 78 ALA=1 (-2).FI=0 (FM)-2*
 10 NOB 1 DG=DN (DD) (=DK*
 11 K0H *
 12 50.NO: US*
 13 B4 4*
 14 B4 PIG=0.GS=0 FN=F DX=EPS1*
 15 16.B4 X/I/=X/I/+DX*
 16 B4 40*

FACT 10

01 ECOM MOD (FN) (WD TO 34*
 02 B4 LO=L0 LA=C LL=O FO=FU FA=FN
 03 FC=18 FCI=18 MIN=1 DLR=EPS1.LAM1.
 04 70.ECOM MOD(S) (WD TO 71*
 05 B5 PROG 54(KSI)*
 06 B4 LR=KSI.FO:GS LAM=L0+LR*
 07 B4N 39*
 08 B4 L1=LAM F1=F FR=((F1-F0):LR-GS):LR*
 09 ECOM FR :EPS TO 38*
 10 B4 LAM=LO-GS:2:FR*
 11 B4N 39*
 12 ECOM MOD(L1-LAM) I=EPS TO 37*
 13 B4 LAM=(L0+L1):2*
 14 B4N 39*
 15 37.B4 L2=LAM F2=F
 16 33.B4 LSR=(L0+L1+L2):3*

 FACT 11

01 ECOM LSR (EPS TO 91*
 02 B4 R2=F1-FO R3=F2-FO R4=L2-L0 R5=L1-L0 R2=R2.R4 R3=R3.R5
 03 R6=R2.R3 R7=R4.R5.(L1-L2) R8=R6:R7 R8=R8.LSR.LSR:FN*
 04 ECOM R8 (EPS TO 38*
 05 B4 R7=R2.R4-R3.P5 AM=R7:2:R6+ C*
 06 B4N 39*
 07 ECOM FO F1 TO 41*
 08 ECOM F1 (=F2 TO 42*
 09 B4 L1=LAM F1=F*
 10 DEP 33*
 11 41.ECOM FO (=F2 TO 42*
 12 B4 LO=LAM FC=F*
 13 DEP 33*
 14 42.B4 L2=LAM F2=F*
 15 DEP 33*
 16 34.B4 MIN=C*

 FACT 12

01 DEP 47*
 02 38.B4 DL=DLR LAM=(LL+LA):2*
 03 B4N 39*
 04 B4 FN=F LAM=LAM+DL*
 05 B4N 39*
 06 DEP 72*
 07 71.ECOM :PIF =1 TO 47*
 08 B4 LAM=LA LL=LA FN=FA DL=DLR*
 09 ECOM FC)=FC1 TO 43*
 10 B4 FC1=FC FC=18*
 11 48.B4 XC1/I/=XC/I/*
 12 POB 48 I=1 (1) N*
 13 43.ECOM LAM)=LAM TO 27*
 14 B4 LAM=LAM+DL*
 15 B4N 39*
 16 ECOM F)=FN TO 44*

FACT 13

01 72.B4 L=LAM FO=F GS=(F-F):DL*
 02 DEP 70*
 03 44.B4 FN=F*
 04 DEP 43*
 05 27.B4 X/I/=XC1/I/*
 06 POB 27 I=1 (1) N*
 07 B4 F=FC1*
 08 DEP 47*
 09 91.B4 X/I/=X1/I/*
 10 POB 91 I=1 (1) N*
 11 B4 F=FN MIN=0
 12 47.B4X MIN(F)*
 13 39.POB LAM=F*
 14 ECOM LAM)=LL TO 30*
 15 B4 LAM=LL*
 16 30.ECOM LAM (=LAM1 TO 31*

 FACT 14

01 B4 LAM=LAM*
 02 31.B4 X/I/=LX.S/I/+X1/I/*
 03 POB 31 I=1 (1) N*
 04 B4N 40*
 05 ECOM LAM (=LA TO 35*
 06 B4 L=LAM FA=F*
 07 35.ECOM MOD(F:FN0) (EPS0 TO 34*
 08 ECOM MOD(IF-FCI:FC) (EPS TO 71*
 09 ECOM F I=FC TO 32*
 10 B4 LC=LAM FC=F*
 11 80.B4 XC/I/=X/I/*
 12 POB 80 I=1 (1) N*
 13 32.B4X LAM=F*
 14 60.POB MAPR*
 15 29.B4 O1/I,3A=C/O,1/
 16 POB 26 I=1 (1) N*

 FACT 5

01 PO 29 I=1 (1) K1*
 02 79.B4 B/I,J/+C*
 03 122.B4 B/I,J/+S/I,J/+O1/I,K/.O/K,J/*
 04 POB 122 K=1 (1) N*
 05 POB 79 J=1 (1) K1*
 06 POB 79 I=1 (1) K1*
 07 B4N 82*
 08 123.B4 AR/I,J/ C*
 09 124.B4 AR/I,J/+AR/I,J/+S/I,K/.B/K,J/*
 10 POB 124 K=1 (1) K1*
 11 POB 123 J=1 (1) K1*
 12 POB 123 I=1 (1) N*
 13 125.B4 O1/I,J/+C*
 14 126.B4 O1/I,J/+S/I,K/.O1/K,J/*
 15 POB 126 K=1 (1) K1*
 16 POB 125 J=1 (1) N*

ЛИСТ 16

01 ПОВ 125 I=1 (1) N*
 02 36.БВ4 АР/1, J/=ED/I, J/-O/I, J/*
 03 ПОВ 36 J=1 (1) N*
 04 ПОВ 36 I=1 (1) N*
 05 БУ 121*
 06 ВУХ МАРР*
 07 82.ПОД ОБМАТ*
 08 83.БВ4 :АР/4, I/=O АР/5, I/=O*
 09 ПОВ 83 I=1 (1) K1*
 10 84.БВ4 R2=O*
 11 БВ4 :M1=O M4=O M5=O*
 12 85.БВ4 :M1=M1+1*
 13 86.ЕСЛИ :M1 =AR/4, K/ TO 90*
 14 ПОВ 86 K=1 (1) K1*
 15 БВ4 :M2=C*
 16 87.БВ4 :M2=M2+1*

ЛИСТ 17

01 88.ЕСЛИ :M2 =AR/5, L/ TO 89*
 02 ПОВ 88 L=1 (1) K1*
 03 ЕСЛИ MOD(B/I, J/) (=R2 TO 89*
 04 БВ4 R2=8/I, J/*
 05 БВ4 :M4=M1 M5=M2*
 06 89.ПОВ 87 J=1 (1) K1*
 07 90.ПОВ 85 I=1 (1) K1*
 08 ЕСЛИ :M4) TO 92*
 09 КОМ *
 10 92.БВ4 :AR/4, K/=M4*
 11 ПОВ 92 K=M5 (1) 1*
 12 93.БВ4 :AR/5, L/=M5*
 13 ПОВ 93 L=M4 (1) 1*
 14 БВ4 :M1=C*
 15 94.БВ4 :M1=M1+1*
 16 ЕСЛИ :M1 =M4 TO 95 IN4E 99*

ЛИСТ 18

01 95.БВ4 :M2=O*
 02 96.БВ4 :M2=M2+1*
 03 ЕСЛИ :M2 =M5 TO 97*
 04 БВ4 АР/1, J/=B/I, J/:R2 B/I, J/=O*
 05 ПЕР 98*
 06 97.БВ4 АР/1, J/=M1:R2 B/I, J/=O*
 07 98.ПОВ 96 J=1 (1) K1*
 08 99.ПОВ 94 I=1 (1) K1*
 09 БВ4 :M2=O*
 10 100.БВ4 :M2=M2+1*
 11 ЕСЛИ :M2 =M5 TO 101 :NA4E 105*
 12 101.БВ4 :M1=C*
 13 102.БВ4 :M1=M1+1*
 14 ЕСЛИ :M1 =M4 TO 103*
 15 БВ4 АР/2, I/=B/I, J/ B/I, J/=O*
 16 ПЕР 104*

ЛИСТ 19

01 103.БВ4 АР/2, I/=1*
 02 104.ПОВ 102 I=1 (1) K1*
 03 105.ПОВ 100 J=1 (1) K1*
 04 106.БВ4 B/I, J/=E/I, J/+AR/2, I/=AR/1, J/*
 05 ПОВ 106 J=1 (1) K1*
 06 ПОВ 106 I=1 (1) K1*
 07 ПОВ 84 K1*
 08 БВ4 :M1=C*
 09 107.БВ4 :M1=M1+1 АР/3, K/=M1*
 10 ПОВ 107 K=1 (1) K1*
 11 БВ4 :M1=C*
 12 108.БВ4 :M1=M1+1*
 13 ЕСЛИ :M1 =K1 TO 113*
 14 ЕСЛИ :M1 =AR/4, L/ TO 112*
 15 109.ЕСЛИ :MOD(AR/4, L/-AR/3, K/))O TO 111*
 16 110.БВ4 R2=8/I, L/ B/I, L/=B/I, K/ B/:, K/=R2*

ЛИСТ 20

01 ПОВ 110 I=1 (1) K1*
 02 БВ4 :AR/3, K/=AR/3, L/*
 03 ПЕР 112*
 04 111.ПОВ 109 K=M1 (1) K1*
 05 112.ПОВ 108 L=1 (1) K1*
 06 113.БВ4 :M1=C*
 07 114.БВ4 :M1=M1+1 АР/3, K/=M1*
 08 ПОВ 114 K=1 (1) K1*
 09 БВ4 :M1=C*
 10 115.БВ4 :M1=M1+1*
 11 ЕСЛИ :M1 =K1 TO 120*
 12 ЕСЛИ :M1 =AR/5, L/ TO 113*
 13 11.ЕСЛИ :MOD(AR/5, L/-AR/3, K/))O TO 11 *
 14 117.БВ4 R2=8, L, J/ B/L, J/=B/K, J/ B/K, J/=R2*
 15 ПОВ 117 J=1 (1) K1*
 16 БВ4 :AR/3, K/=AR/3, L/*

ЛИСТ 21

01 ПЕР 119*
 02 119.ПОВ 116 K=M1 (1) K1*
 03 119.ПОВ 115 L=1 (1) K1*
 04 120.БВХ ОБМАТ*
 05 121.ПОД ПРОСР*
 06 42.БВ4 G1/I/=O*
 07 52.БВ4 G1/I/=G1/I/+ R/I, J/, S/J/*
 08 ПОВ 52 J=1 (1) N*
 09 ПОВ 49 I=1 (1) L*
 10 БВ4 GS=O*
 11 54.БВ4 S/I/=G1/I/ GS=GS-G1/I/, S/I/*
 12 ПОВ 54 I=1 (1) N*
 13 БВХ 75*
 14 БВХ ПРОСР*
 15 75.ПОД ПРОСР*
 16 БВ4 GS=-(-GS)' (1:2) GS1=-55*

A.CT 22

01 ECLM GS1)=EPS TO 76*
02 B#4 PIG=1*
03 PER 77*
04 76.B#4 S/I/=S/I/: S1*
05 ПОВ 76 I= (1) N*
06 77.B#X NORM*
07 25.П0А DOPRC*
08 1A.B#4 :K2=K1*
09 B#П 60*
10 B#П 55*
11 ECLM :K2 =K1 TO 24*
12 PER 18*
13 24.B#X DOPRO*
14 62.П0А BROS*
15 17.5#6 PROC 54(KSI)*
16 B#4 S/I/=KSI.XM*

AUCT 23

01 ПОВ 17 I=1 (1) N*
02 46.B#4 R1=C/I/*
03 20.B#4 R1=R1-A/I,J/S/D/*
04 ПОВ 20 J=1 (1) N*
05 ECL R1 (0 TO 17*
06 ПОВ 46 I=1 (1) N*
07 21 B#4 X/I/=S/I/*
08 ПОВ 21 I=1 (1) N*
09 B#X BROS*
10 40.П0А F*
11 B#4 V=v(X)*
12 B#4 F=FLF.V+FF*
13 ECLM :PIF =1 TO 56*
14 B#4 F=PSI(X)*
15 ECLM PIG (C,5 TO 56*
16 B#4 F=f'2*

AUCT 24

01 56.B#X F*
02 H#4 3*